

مقایسه رفتار زیست‌فعال‌های داربست‌های نانو کامپوزیتی فیبروین / نانوذرات دی‌اکسیدتیتانیم و فیبروین / نانوذرات دی‌اکسیدتیتانیم حاوی یون فلئوئور برای مهندسی بافت استخوان*

نرگس جوهری^(۱) حمیدرضا مداح حسینی^(۲) علی صمدی کوچکسرای^(۳)

چکیده

افزایش شمار آسیب‌های استخوانی و توسعه جراحی‌های با کمترین آسیب، تحقیقات را به سمت طراحی و ساخت کامپوزیت‌های مت‌شکل از پلیمر زیست‌تخریب‌پذیر و سرامیک زیست‌فعال به‌عنوان داربست زیست‌سازگار در مهندسی بافت استخوان هدایت کرده است. هدف از پژوهش حاضر، ارزیابی و مقایسه رفتار زیست‌فعال‌های داربست‌های نانو کامپوزیتی و زیست‌فعال فیبروین/نانوذرات دی‌اکسیدتیتانیم و فیبروین/نانوذرات دی‌اکسیدتیتانیم عامل‌دار شده با فلوراید است. به این منظور، ابتدا نانوذرات دی‌اکسیدتیتانیم با یون فلئوئور عامل‌دار شدند. سپس داربست‌ها در ۲ گروه فیبروین/نانوذرات دی‌اکسیدتیتانیم / فیبروین و نانوذرات دی‌اکسیدتیتانیم حاوی یون فلئوئور ساخته شدند و رفتار زیست‌فعال و رسوب آپاتیت بر سطح داربست‌ها با غوطه‌وری داربست‌ها در بازه زمانی ۱ تا ۲۸ روز در محلول شبیه‌سازی شده بدن انسان (SBF) مطالعه شد. نتایج نشان داد که داربست‌های فیبروین/نانوذرات دی‌اکسیدتیتانیم عامل‌دار شده با فلئوئور در مقایسه با داربست‌های فیبروین/نانوذرات دی‌اکسیدتیتانیم، رفتار زیست‌فعال بهتری داشتند، به طوری که بعد از ۲۱ روز غوطه‌وری در محلول شبیه‌سازی شده بدن انسان تا حدود ۴۰ درصد از سطح این داربست‌ها با رسوب آپاتیت پوشش یافت.

واژه‌های کلیدی: داربست زیست‌فعال، فیبروین، نانوذرات دی‌اکسیدتیتانیم، یون فلئوئور.

Bioactivity Comparison of Silk Fibroin/Nano-Titanium Dioxide and Silk Fibroin/Nano-Titanium Dioxide Containing Flour Ions for Bone Tissue Engineering

N. Johari H. R. Madaah Hosseini A. Samadikuchaksaraei

Abstract

Bone defects and developed surgery with low injuries have conducted researches to design and produce composites containing biodegradable polymer and bioactive ceramic, introducing as a biocompatible scaffold for bone tissue engineering. In the present study, bioactive nanocomposite scaffolds of silk fibroin/titanium dioxide nanoparticles (SF/TiO₂) and silk fibroin/titanium dioxide nanoparticles which contain flour ions (SF/TiO₂-F) were prepared. Accordingly, flour ions were bound to TiO₂ nanoparticles and both SF/TiO₂ and SF/TiO₂-F scaffolds were produced. Then, the bioactivity and apatite formation on the surface of prepared scaffolds were evaluated by immersing in simulated body fluid (SBF) for 28 days. As a resultant, SF/TiO₂-F scaffolds showed improved bioactivity in comparison with SF/TiO₂ ones, as such, after 12 days of immersion in SBF, apatite precipitations covered around 40 % of surface of prepared scaffolds.

Key Words: Bioactive scaffold, Fibroin, Titanium dioxide nanoparticles, Flour ion

* تاریخ دریافت مقاله ۹۸/۹/۲۹ و تاریخ پذیرش آن ۹۹/۷/۱۲ می‌باشد.

Email: johari_narges@yahoo.com

(۱) نویسنده مسئول، استادیار، گروه مهندسی مواد، دانشکده فنی و مهندسی گلپایگان.

(۲) عضو هیئت‌علمی دانشکده مهندسی و علم مواد، دانشگاه صنعتی شریف، تهران.

(۳) عضو هیئت‌علمی دانشکده پیراپزشکی، دانشگاه علوم پزشکی ایران.

مقدمه

از مسائل مهم در بحث سلامت انسان، ازکارافتادن اندام یا بافت بخشی از بدن است که مشکلات بسیاری را برای بیمار به بار می‌آورد. برای درمان این‌گونه معضلات، بخشی از بدن خود بیمار یا فرد دیگری را به محل آسیب‌دیده پیوند می‌زنند و گاهی نیز از ساختارهای مصنوعی که از مواد غیرزنده ساخته شده‌اند، استفاده می‌شود. این روش‌ها ممکن است موجب درمان بیمار شود، ولی گاهی با محدودیت‌ها و عوارضی از جمله عفونت در محل پیوند و پس‌زده شدن بافت همراه است. امروزه، در رویکرد مهندسی بافت، یک داربست متخلخل و زیست‌تخریب‌پذیر ساخته و سپس سلول‌های بافت مدنظر بر روی آن کشت داده می‌شود. با کنترل شرایط فیزیولوژیکی در خارج از بدن، بافت اولیه بر روی داربست تشکیل می‌شود و پس از کاشت در داخل بدن، با تشکیل بافت جدید، داربست تخریب می‌شود [1].

از آنجایی که استخوان شامل ۲ بخش معدنی و آلی است و یک ساختار نانوکامپوزیتی را تشکیل می‌دهد، در مهندسی بافت استخوان لازم است یک ساختار نانوکامپوزیتی آلی/معدنی طراحی شود [2]. تحقیقات نشان داده است در مواردی که کامپوزیت‌ها با پلیمرهای زیست‌تخریب‌پذیر و میکروذرات شیشه‌زیست‌فعال ساخته شده‌اند، خواص زیست‌فعالی در حد انتظار از خود نشان نداده‌اند. این مسئله به دلیل ابعاد میکرونی ذرات و سطح ویژه پایین آن‌هاست [3]. محققان نشان داده‌اند که حضور نانوذرات تری‌کلسیم فسفات در زمینه پلیمری پلی‌لاکتیک‌گلایکولیک اسید، باعث بهبود رفتار زیست‌فعالی و تخریب‌پذیری این نانوکامپوزیت، در مقایسه با کامپوزیت حاوی میکروذرات می‌شود [4]. علاوه بر این، استفاده از نانوذرات در زمینه پلیمری می‌تواند الگوبرداری از ساختمان استخوان طبیعی باشد، زیرا استخوان نانوکامپوزیتی شامل نانوبلورهای هیدروکسی‌آپاتیت در زمینه پلیمری کلاژن است [5، 6]. از سوی دیگر، در ساختار بافت استخوان یون‌هایی چون Na^+ ، K^+ ، Mg^{2+} ، CO_3^{2-} وجود دارند که از بین این یون‌ها، CO_3^{2-} و F^- تأثیر بیشتری بر رفتار و خواص بخش معدنی

استخوان می‌گذارند و ثابت شده است که حضور یون‌های F^- در حد خیلی کم در بافت دندان و استخوان ضروری است [7، 5، 2].

در بین سرامیک‌های زیست‌فعال، دی‌اکسید تیتانیم (TiO_2)، ترکیبی زیست‌سازگار است که علاوه بر خواص زیست‌فعالی، خواص ضدباکتریایی مطلوبی دارد [8]. همچنین به علت خواص استخوان‌سازی خوب این ماده، می‌توان از آن به‌عنوان ماده‌ سازنده داربست برای تحریک شکل‌گیری استخوان از بافت اطراف کمک گرفت [9]. علاوه بر موارد یادشده، توانایی حمایت از شکل‌گیری استخوان روی سطح کاشتنی، از فاکتورهای ضروری برای یک داربست استخوانی است [10]. شکل‌گیری یک فصل مشترک مستقیم بین استخوان و کاشتنی، به شدت تحت تأثیر شیمی و توپوگرافی سطح است [11].

در بین مواد زیست‌سازگار، پلیمرهای زیست‌سازگار معمولاً انعطاف‌پذیرند، اما در مقایسه با استخوان از استحکام کافی برخوردار نیستند. بنابراین، ساخت کامپوزیت‌هایی از پلیمر همراه با بیوسرامیک‌های زیست‌فعال مانند هیدروکسی‌آپاتیت می‌تواند باعث ایجاد ترکیب بهینه‌ای با خواص بیولوژیکی و مکانیکی ۲ ماده شود. پلیمرهای طبیعی در مقایسه با پلیمرهای مصنوعی، از چسبندگی سلولی، مهاجرت و تکثیر سلولی مناسب‌تری برخوردارند، از این رو، در ساخت داربست جذابیت دارند [12]. در بین پلیمرهای طبیعی، از کلاژن و فیبروین برای ساخت داربست‌های مهندسی بافت استفاده شده است، زیرا زیست‌سازگاری عالی دارند و استحکام کششی و انعطاف‌پذیری خوبی از خود نشان می‌دهند [13]. فیبروین ابریشم پلیمری طبیعی است که در داروسازی و جراحی نیز استفاده می‌شود، زیرا سمیت سلولی ندارد و شباهت نزدیکی به بافت بدن دارد. تحقیقات نشان داده‌اند که فیبروین ابریشم به‌عنوان ماده‌ای زیستی در مهندسی بافت استفاده می‌شود. از طرفی، این پلیمر طبیعی خواص مکانیکی، چسبندگی سلولی و مشخصه‌های رشد مناسبی دارد [14].

(شرکت سیگما-آلدریچ) با ضریب خروج 2000 دالتون در یک لیتر آب دیونیزه قرار گرفت. آب دیونیزه موجود در ظرف محتوی کیسه دیالیز، ۶ بار، به طور منظم در فاصله ۷۲ ساعت تخلیه و مجدداً پر می‌شد. محلول باقی مانده در غشای دیالیز، فیرویین خالص بود [15].

در مرحله بعد، سطح نانوذرات دی‌اکسیدتیتانیم آناتاز (شرکت نانوایمور) با اندازه ذره ۲۰ تا ۳۰ نانومتر با محلول ۲ درصد حجمی اسید هیدروفلوریک (شرکت مرک) با یون فلئور عامل دار شد.

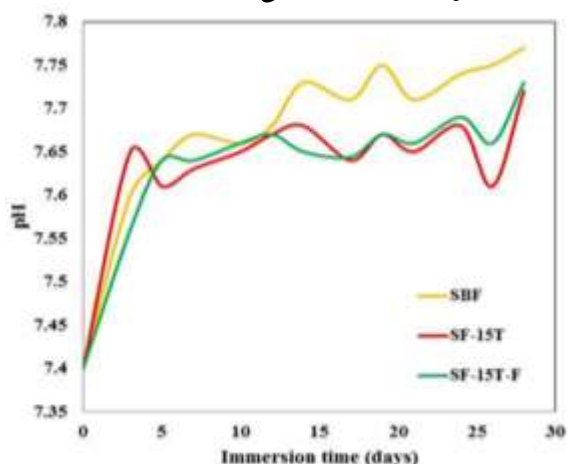
داربست‌های نانوکامپوزیتی فیرویین/دی‌اکسیدتیتانیم در ۲ گروه ساخته شدند. در گروه اول از نانوذرات دی‌اکسیدتیتانیم خالص (SF/TiO_2) و در گروه دوم از نانوذرات دی‌اکسیدتیتانیم عامل دار شده با یون فلئور (SF/TiO_2-F) استفاده شد. برای این منظور، ابتدا نانوذرات دی‌اکسیدتیتانیم در ۲ میلی‌لیتر آب ۲ بار تقطیر پراکنده شدند. سپس به محلول آبی، فیرویین اضافه شد و یک سوسپانسیون نسبتاً پایدار از محلول فیرویین تهیه شد. سپس، برای ساخت داربست‌های ذکر شده، سوسپانسیون حاصل در پلیت کشت سلول (شرکت سیگما-آلدریچ) ریخته شد. از پلیت کشت سلول به عنوان قالب استوانه‌ای برای ساخت داربست‌ها استفاده شد. قالب‌ها در دمای ۲۰- و ۸۰- درجه سانتی‌گراد منجمد و سپس به مدت ا شب در خشک‌کن انجمادی (شرکت ادواردز) خشک شدند. تا این مرحله داربست‌های به دست آمده، قابل انحلال در آب بودند. زیرا در فرایند استحصال، پروتئین فیرویین به دلیل ایجاد ساختار α -helix، ساختار بلورین خود را از دست می‌دهد. برای بازیابی ساختار فیرویین، از متانول (شرکت مرک) با خلوص ۹۹/۸ درصد استفاده شد. هر داربست به مدت ۱ ساعت در متانول غوطه‌ور ماند. سپس ۲ بار با آب دیونیزه شست‌وشو داده شد تا متانول از محیط خارج شود. در نهایت برای خشک شدن، داربست‌ها به مدت ا شب در خشک‌کن انجمادی قرار داده شدند.

هدف از پژوهش حاضر، مقایسه خواص زیست‌فعال داربست‌های نانو کامپوزیتی فیرویین/نانوذرات دی‌اکسید تیتانیم و فیرویین/نانوذرات دی‌اکسیدتیتانیم حاوی یون فلئور است. فیرویین به عنوان پلیمری طبیعی با خواص زیست‌سازگاری عالی از ابریشم طبیعی استخراج شده است و با نانوذرات دی‌اکسیدتیتانیم و نانوذرات دی‌اکسیدتیتانیم که با یون فلئور عامل دار شده‌اند، کامپوزیت می‌شود تا به عنوان داربستی برای مهندسی بافت استخوان ارزیابی شود. نانوذرات دی‌اکسیدتیتانیم خواص ضدباکتریایی و زیست‌فعالی نسبتاً خوبی از خود نشان می‌دهند، اما در مقابل سلول‌های استخوانی، زیست‌سازگاری مناسبی ندارند. درحالی‌که یون فلئور باعث بهبود زیست‌سازگاری و ترویج رشد استخوان در بافت زنده می‌شود و در بدن اثر ضدباکتریایی دارد. از این رو، انتظار می‌رود داربست بررسی شده در این پژوهش در مهندسی بافت استخوان منجر به ارتقای خاصیت ترویج رشد استخوان و بهبود رفتار زیست‌فعالی در مقایسه با داربست‌های بدون فلوراید شود.

مواد و روش آزمایش

برای تهیه فیرویین ابریشم ابتدا باید سریسین (صمغ ابریشم) حذف شود. برای صمغ‌زدایی الیاف ابریشم، ۳ پیمانه کرم ابریشم بومبیکس موری (هدیه تحقیقاتی از مرکز تحقیقات ابریشم ایران، گیلان)، باز و شفیقه آن‌ها خارج شد. سپس پیمانه‌ها ۱ ساعت در ۷۵۰ میلی‌لیتر محلول کربنات سدیم (شرکت سیگما-آلدریچ) ۰/۰۲ مولار جوشان قرار گرفتند. سپس الیاف به دست آمده چندین بار و به تناوب با آب ۲ بار تقطیر سرد و گرم به خوبی آب‌کشی و یک شب در شرایط محیط خشک شدند. برای تهیه فیرویین محلول در آب، الیاف صمغ‌زدایی شده ابریشم به نسبت ۱۰ درصد وزنی در محلول ۹/۳ مولار لیتیم بروماید (شرکت وی. دابلو. آر. پرولابو) به مدت ۵ ساعت در دمای ۵۵ درجه سانتی‌گراد حل شدند. محلول غلیظ نمک و فیرویین به مدت ۷۲ ساعت در کیسه دیالیز

شکل ۱ نمودار تغییرات pH محلول SBF که حاوی این داربست‌ها بوده است را نشان می‌دهد.



شکل ۱ تغییرات pH محلول SBF حاوی داربست‌های نانوکامپوزیتی SF/TiO₂-F و SF/TiO₂

تغییرات pH محلول SBF به میزان رسوب یا انحلال آپاتیت بستگی دارد. وقتی میزان انحلال آپاتیت افزایش پیدا می‌کند، مقدار pH نیز کم می‌شود، زیرا انحلال آپاتیت اثر قلیایی روی pH محلول SBF دارد و زمانی که روی نمونه غوطه‌ور شده در محلول SBF، آپاتیت رسوب می‌کند، مقدار pH محلول افزایش می‌یابد [17]. تغییرات pH در شکل ۱ در مدت ۲۸ روز، روند افزایشی را نشان می‌دهد. یعنی در این مدت بر سطح نمونه‌ها آپاتیت رسوب کرده است.

شکل ۲ و ۳ به ترتیب تغییرات غلظت یون‌های کلسیم و فسفر در محلول‌های SBF حاوی داربست‌های نانو کامپوزیتی SF/TiO₂ و SF/TiO₂-F، در مدت ۲۸ روز غوطه‌وری را نشان می‌دهد.

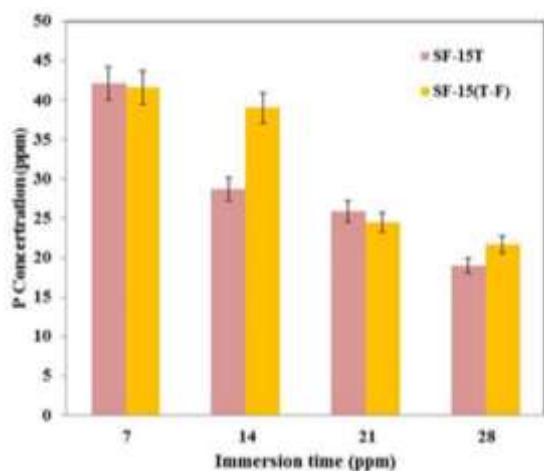
مشاهده می‌شود که غلظت یون‌های کلسیم و فسفر در محلول SBF برای هر ۲ نمونه، در مدت ۲۸ روز غوطه‌وری کاهش پیدا کرده است. قبل از غوطه‌وری نمونه‌ها در محلول SBF، این محلول حاوی غلظت مشخصی از یون‌های کلسیم و فسفر بوده است. کاهش غلظت یون‌های کلسیم و فسفر محلول SBF در مدت غوطه‌وری، مؤید مصرف شدن این یون‌ها در این مدت است. یعنی ترکیبات کلسیم فسفات بر سطح نمونه‌های غوطه‌ور شده، رسوب کرده و جوانه‌های

برای ارزیابی رفتار زیست‌فعالی داربست‌های SF/TiO₂ و SF/TiO₂-F در شرایط آزمایشگاهی، از محلول شبیه‌سازی شده بدن انسان (SBF) استفاده شد. برای ساخت محلول SBF از روش ارائه شده کوکوبو و تاکاداما [16] استفاده شد. در اثر پدیده رسوب از محلول فوق‌اشباع، در فصل مشترک محلول SBF و داربست غوطه‌ور شده در آن، آپاتیت‌های بیولوژیک بر سطح داربست تشکیل می‌شوند. سطح داربست غوطه‌ور شده در محلول SBF، برای بررسی میزان و مورفولوژی آپاتیت‌های بیولوژیک شکل گرفته بر سطح آن، در زمان‌های متفاوت غوطه‌وری داربست در محلول یادشده، با میکروسکوپ الکترونی روبشی (SEM) ارزیابی شد.

برای ارزیابی رفتار زیست‌فعالی داربست‌های نانوکامپوزیتی زیست‌فعال ساخته شده، تغییرات غلظت یون‌های کلسیم و فسفر در محلول SBF که در تماس با داربست‌های تهیه شده قرار گرفته بود، بعد از زمان‌های مختلف غوطه‌وری و پس از خارج کردن داربست‌های غوطه‌ور شده از محلول، با روش یون‌سنجی پلاسمای زوج القایی (ICP-OES) اندازه‌گیری شد. همچنین تغییرات غلظت یون فلئور در محلول SBF با الکتروود اختصاصی یون فلئور در دستگاه یون‌سنج، بعد از زمان‌های مختلف غوطه‌وری و پس از خارج کردن داربست غوطه‌ور شده از محلول سنجیده شد. تغییرات pH محلول SBF هم هر ۲ روز یکبار با دستگاه سنجش pH اندازه‌گیری شد.

نتایج و بحث

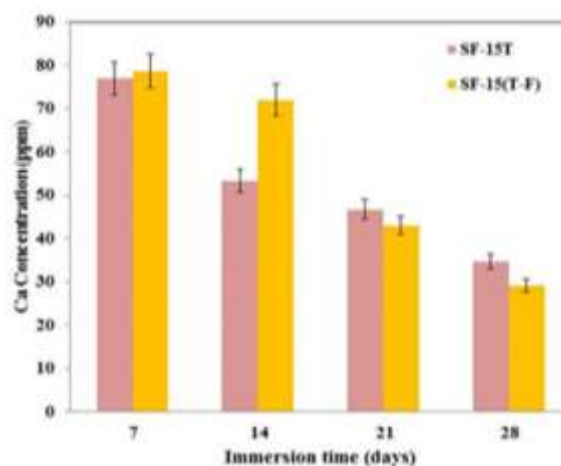
همان‌طور که در بخش قبل اشاره شد، برای بررسی اثر نانوذرات دی‌اکسید تیتانیم بر خواص زیست‌فعالی داربست‌های نانوکامپوزیتی SF/TiO₂ و SF/TiO₂-F، این داربست‌ها به مدت ۲۸ روز در محلول شبیه‌سازی شده بدن انسان (SBF) غوطه‌ور شدند. تغییرات رفتار این محلول در شرایط فیزیولوژیکی بدن، یعنی دمای ۳۷ درجه سانتی‌گراد و pH برابر با ۷/۴ ارزیابی شد.



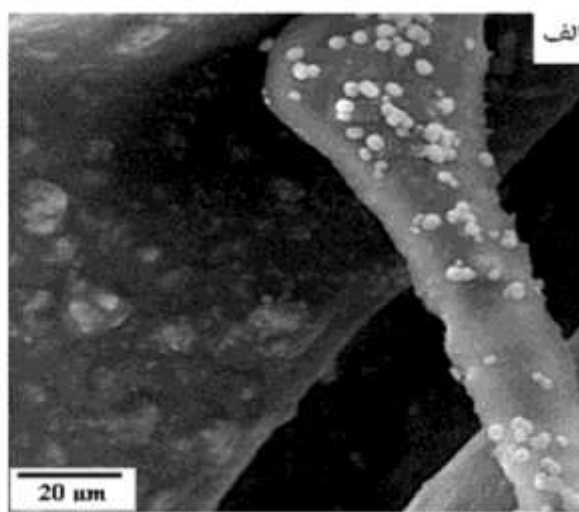
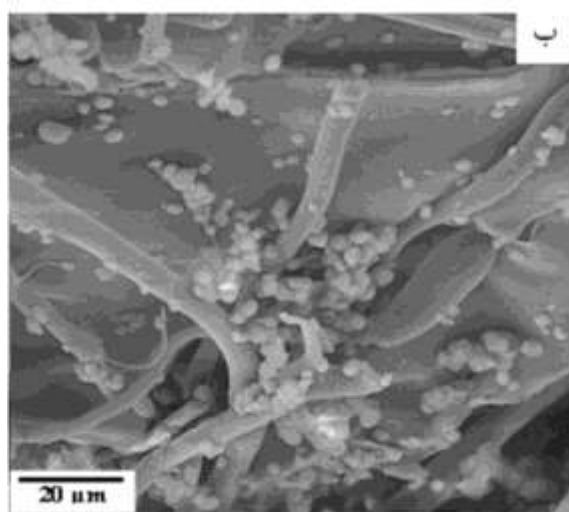
شکل ۳ تغییرات غلظت یون فسفر در محلول SBF حاوی داربست‌های نانوکامپوزیتی SF/TiO₂-F و SF/TiO₂

مورفولوژی آپاتیت شکل گرفته بر سطح داربست‌های نانوکامپوزیتی SF/TiO₂-F و SF/TiO₂ پس از ۲۱ روز غوطه‌وری در محلول SBF، با میکروسکوپ الکترونی روبشی بررسی شد. شکل ۴ تصاویر میکروسکوپ الکترونی روبشی مربوط به سطوح داربست‌های نانوکامپوزیتی SF/TiO₂-F و SF/TiO₂ را پس از ۲۱ روز غوطه‌وری در محلول نشان می‌دهد.

آپاتیت، پس از ۲۸ روز بر روی سطح نمونه‌ها شکل گرفته است. به بیان بهتر، جوانه‌های آپاتیت با مصرف کردن یون‌های کلسیم و فسفر موجود در محلول SBF شکل می‌گیرند [18]. اما همان‌طور که در شکل ۲ و ۳ دیده می‌شود، بعد از روز ۲۱، غلظت کلسیم و فسفر در داربست SF/TiO₂-F کمتر از داربست SF/TiO₂ است، یعنی از روز ۲۱ آپاتیت بیشتری روی داربست SF/TiO₂-F رسوب کرده است و این داربست در مقایسه با داربست SF/TiO₂ زیست‌فعال‌تر است.



شکل ۲ تغییرات غلظت یون کلسیم در محلول SBF حاوی داربست‌های نانوکامپوزیتی SF/TiO₂-F و SF/TiO₂



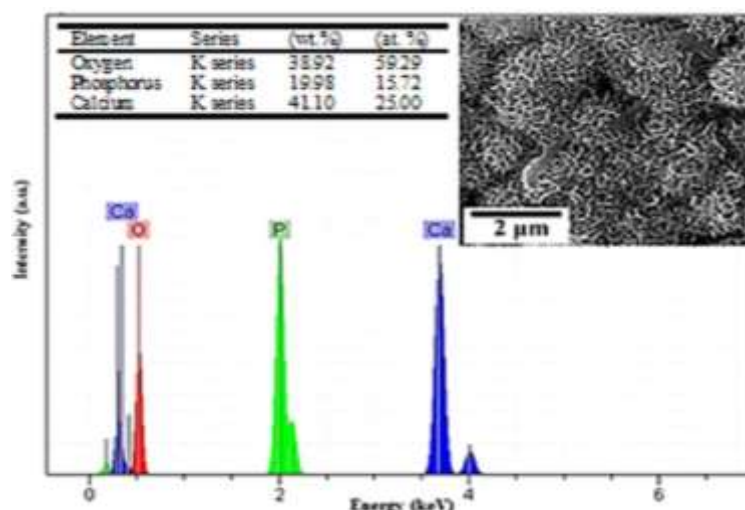
شکل ۴ تصاویر میکروسکوپ الکترونی روبشی داربست‌های: (الف) SF/TiO₂ و (ب) SF/TiO₂-F پس از ۲۱ روز غوطه‌وری در محلول SBF

کلسیم فسفات بر سطح داربست شکل گیرد [21]. با مصرف شدن یون‌های کلسیم و فسفر موجود در محلول SBF، ذرات آپاتیت رشد می‌کنند و با یون‌های کوچکی مانند سدیم، منیزم و کربنات هم پیوند برقرار می‌کنند و ترکیبی مشابه استخوان شکل می‌گیرد [22]. اما در داربست‌های SF/TiO₂-F به دلیل اینکه علاوه بر گروه Ti-OH یون الکترون‌گاتیو فلئوئور نیز روی سطح ذرات داربست وجود دارد، بار سطحی منفی بیشتری روی سطح ایجاد می‌شود و یون‌های کلسیم بیشتری روی سطح داربست رسوب می‌کند.

شکل ۵ آنالیز عنصری طیف‌سنجی تفکیک انرژی (EDS) ذرات شکل‌گرفته بر سطح داربست SF/TiO₂ را پس از ۲۱ روز غوطه‌وری در محلول SBF نشان می‌دهد. مشاهده می‌شود که بخش عمده ذرات رسوب‌یافته روی داربست SF/TiO₂ را کلسیم و فسفر با نسبت کلسیم به فسفر ۱/۵۹ تشکیل می‌دهد. این نسبت نزدیک به نسبت کلسیم به فسفر هیدروکسی‌آپاتیت یعنی ۱/۶۷ و نشان‌دهنده شکل‌گیری هیدروکسی‌آپاتیت کم کلسیم (CDHA) است [23]. مورفولوژی مشابه در تحقیقات دیگر هم مشاهده شده است [24]. مطالعات قبلی نشان داده‌اند که این ساختار پیش‌سازۀ آپاتیت بیولوژیک است، زیرا شباهت ساختاری بین هیدروکسی‌آپاتیت کم کلسیم و هیدروکسی‌آپاتیت وجود دارد [25].

در این شکل مشاهده می‌شود که داربست SF/TiO₂-F حاوی یون فلئوئور، زیست‌فعال‌تر از داربست نانوکامپوزیتی SF/TiO₂ است که بدون یون فلئوئور است، زیرا سطح داربست نانوکامپوزیتی SF/TiO₂-F بعد از ۲۱ روز به شکل درخور توجهی با ذرات کروی آپاتیت پوشیده شده است، اما روی سطح داربست نانوکامپوزیتی SF/TiO₂ که بدون یون فلئوئور است، بعد از ۲۱ روز تعداد بسیار کمی از ذرات آپاتیت شکل گرفته است. زیرا به دلیل وجود فلئوئور در داربست، بار منفی داربست SF/TiO₂-F در مقایسه با داربست SF/TiO₂ افزایش یافته است. در نتیجه تمایل جذب Ca²⁺ بر روی سطح این داربست بیشتر شده است. بنابراین آپاتیت سریع‌تر روی این داربست شکل می‌گیرد.

حضور گروه‌های Ti-OH روی سطح ذرات دی‌اکسید تیتانیم موجود در داربست SF/TiO₂ به عنوان مکان‌های مستعد برای جوانه‌زنی آپاتیت عمل می‌کنند [16,19]. بار سطحی داربست SF/TiO₂ به دلیل حضور گروه Ti-OH روی سطح آن، منفی است [20]. وقتی که این داربست با بار سطحی منفی در محلول SBF غوطه‌ور می‌شود، گروه Ti-OH موجود روی سطح آن، یون‌های Ca²⁺ موجود در محلول SBF را که بار مثبت دارند، جذب می‌کند و باعث می‌شود که بار سطحی داربست مثبت و مستعد به ترکیب شدن با یون‌های منفی PO₄³⁻ شود و در نهایت ترکیبی

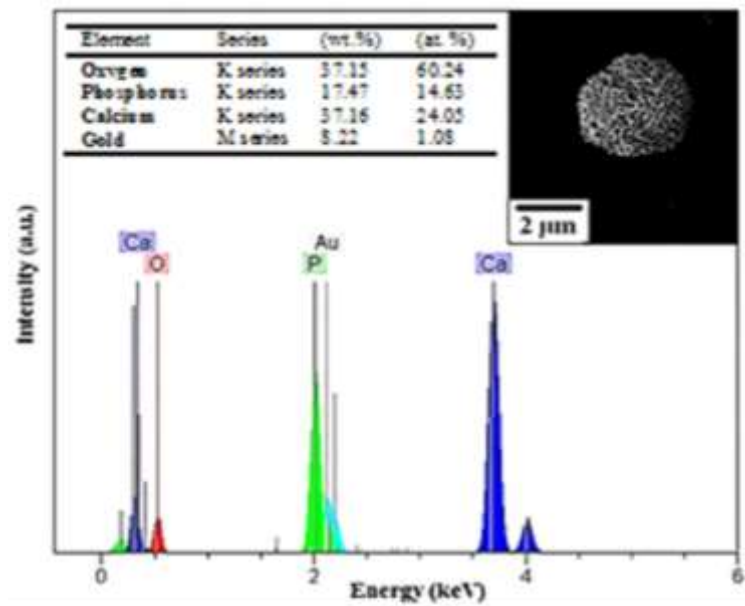


شکل ۵ آنالیز عنصری طیف‌سنجی تفکیک انرژی (EDS) ذرات شکل‌گرفته بر سطح داربست SF/TiO₂ پس از ۲۱ روز غوطه‌وری در محلول SBF

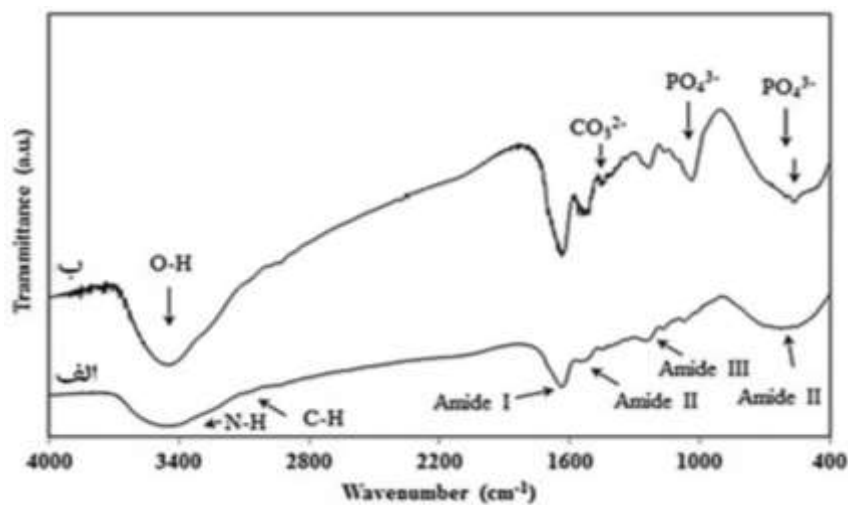
شکل ۶ آنالیز عنصری طیفسنجی تفکیک انرژی

(EDX) ذرات رسوب یافته روی داربست SF/TiO₂-F را پس از ۲۱ روز غوطه‌وری در محلول SBF نشان می‌دهد. این شکل پیک‌های واضح کلسیم و فسفر را نشان می‌دهد. نسبت کلسیم به فسفر در این آنالیز ۱/۶۴ بود. این مقدار در مقایسه با آنالیز عنصری طیفسنجی تفکیک انرژی داربست SF/TiO₂ به نسبت کلسیم به فسفر در هیدروکسی‌آپاتیت (۱/۶۷) نزدیک‌تر است.

شکل ۷ طیفسنجی فروسرخ با تبدیل فوریه (FTIR) این داربست SF/TiO₂-F را پس از ۲۱ روز غوطه‌وری در محلول SBF نشان می‌دهد. نتایج این طیفسنجی نیز شکل‌گیری گروه‌های عاملی هیدروکسی‌آپاتیت را بر سطح این داربست تأیید می‌کند.



شکل ۶ آنالیز عنصری طیفسنجی تفکیک انرژی (EDS) ذرات شکل گرفته بر سطح داربست SF/TiO₂-F پس از ۲۱ روز غوطه‌وری در محلول شبیه‌سازی شده بدن انسان



شکل ۷ طیفسنجی فروسرخ با تبدیل فوریه (FTIR) داربست نانوکامپوزیتی SF/TiO₂-F (الف) قبل از غوطه‌وری و (ب) پس از ۲۱ روز غوطه‌وری در محلول SBF

نتیجه‌گیری

دی‌اکسیدتیتانیم حاوی یون فلئور در محلول شبیه‌سازی شده بدن انسان، با وجود نبود عامل کلسیم فسفات‌ی در ساختار داربست‌ها تأیید شد. از طرفی مشاهده شد که رفتار زیست‌فعالی فیبروین/نانوذرات دی‌اکسیدتیتانیم حاوی یون فلئور در مقایسه با داربست‌های فیبروین/نانوذرات دی‌اکسیدتیتانیم بیشتر است، به طوری که رسوب کلسیم فسفات بر سطح داربست‌های فیبروین/نانوذرات دی‌اکسیدتیتانیم حاوی یون فلئور بعد از ۲۱ روز غوطه‌وری در SBF، حدود ۴۰ درصد سطح داربست‌ها را پوشش داد.

رفتار زیست‌فعالی داربست‌های SF/TiO₂-F و SF/TiO₂ در محلول شبیه‌سازی شده بدن انسان در بازه ۲۸ روز بررسی شد. در نتیجه مشاهده شد که رفتار زیست‌فعالی داربست‌های فیبروین/نانوذرات دی‌اکسیدتیتانیم و فیبروین/نانوذرات دی‌اکسیدتیتانیم حاوی یون فلئور با افزایش زمان غوطه‌وری در محلول شبیه‌سازی شده بدن انسان افزایش یافت. همچنین رسوب کلسیم فسفات بر سطح داربست‌های فیبروین/نانوذرات دی‌اکسیدتیتانیم و فیبروین/نانوذرات

مراجع

1. Hench, L., Jones, J., "Biomaterials, artificial organs and tissue engineering". Woodhead Publishing Limited and CRC Press LLC, New York, pp. 48-58, (2005).
2. Isa, Z. M., Schneider, G. B., Zaharias, R., Seabold, D., Stanford, C. M., "Effects of fluoride-modified titanium surfaces on osteoblast proliferation and gene expression", *International Journal of Oral & Maxillofacial Implants*, Vol. 21(2), pp. 203-211, (2006).
3. Krause, D., Thomas, B., Leinenbach, C., Eifler, D., Minay, E. J., Boccaccini, A. R., "The electrophoretic deposition of Bioglass® particles on stainless steel and Nitinol substrates", *Surface and Coatings Technology*, Vol. 200 (16), pp. 4835-4845, (2006).
4. Yang, Y., Zhao, Y., Tang, G., Li, H., Yuan, X., Fan, Y., "In vitro degradation of porous poly (l-lactide-co-glycolide)/β-tricalcium phosphate (PLGA/β-TCP) scaffolds under dynamic and static conditions", *Polymer Degradation and Stability*, Vol. 93 (10), pp. 1838-1845, (2008).
5. Baron, R. D. D. S., "Anatomy and ultrastructure of bone", *Primer on the metabolic bone diseases and disorders of mineral metabolism 4*, pp. 3-10, (1999).
۶. جعفری‌نژاد، ش، "عناصر پایه در فناوری نانو و نانوکامپوزیت‌های پلیمری"، انتشارات سیمای دانش، (۱۳۸۸).
7. Lamolle, S. F., Monjo, M., Rubert, M., Haugen, H. J., Lyngstadaas, S. P., Ellingsen, J. E., "The effect of hydrofluoric acid treatment of titanium surface on nanostructural and chemical changes and the growth of MC3T3-E1 cells", *Biomaterials*, Vol. 30 (5), pp. 736-742, (2009).
8. Manso, M., Langlet, M., Fernandez, M., Vazquez, L., Martínez-Duart, J. M., "Surface and interface analysis of hydroxyapatite/TiO₂ biocompatible structures", *Materials Science and Engineering*, Vol. 23 (3), pp. 451-454, (2003).
9. Fostad, G., Hafell, B., Førde, A., Dittmann, R., Sabetrsek, R., Will, J., Ellingsen, J. E., Lyngstadaas, S. P., Haugen, H. J., "Loadable TiO₂ scaffolds—a correlation study between processing parameters, micro CT

- analysis and mechanical strength", *Journal of the European Ceramic Society*, Vol. 29 (13), pp. 2773-2781 (2009).
10. Barrere, F., Mahmood, T. A., De Groot, K., Van Blitterswijk, C. A., "Advanced biomaterials for skeletal tissue regeneration: Instructive and smart functions", *Materials Science and Engineering, R: Reports*, Vol. 59 (1), pp. 38-71, (2008).
 11. Sul, Y. T., Kang, B. S., Johansson, C., Um, H. S., Park, C. J., Albrektsson, T., "The roles of surface chemistry and topography in the strength and rate of osseointegration of titanium implants in bone", *Journal of biomedical materials research Part A*, Vol. 89 (4), pp. 942-950, (2009).
 12. Schmidt, C. E., Baier, J. M., "Acellular vascular tissues: natural biomaterials for tissue repair and tissue engineering", *Biomaterials*, Vol. 21 (22), pp. 2215-2231, (2000).
 13. Seliktar, D., Black, R. A., Vito, R. P., Nerem, R. M., "Dynamic mechanical conditioning of collagen-gel blood vessel constructs induces remodeling in vitro", *Annals of biomedical engineering*, Vol. 28 (4), pp. 351-362, (2000).
 14. Yan, S., Zhang, Q., Wang, J., Liu, Y., Lu, S., Li, M., Kaplan, D. L., "Silk fibroin/chondroitin sulfate/hyaluronic acid ternary scaffolds for dermal tissue reconstruction", *Acta biomaterialia*, Vol. 9 (6), pp. 6771-6782, (2013).
 15. Rockwood, D. N., Preda, R. C., Yücel, T., Wang, X., Lovett, M. L., Kaplan, D. L., "Materials fabrication from Bombyx mori silk fibroin", *Nature protocols*, Vol. 6 (10), pp. 1612-1631, (2011).
 16. Kokubo, T., Takadama, H., "How useful is SBF in predicting in vivo bone bioactivity?", *Biomaterials*, Vol. 27 (15), pp. 2907-2915, (2006).
 17. Fathi, M. H., Hanifi, A., Mortazavi, V., "Preparation and bioactivity evaluation of bone-like hydroxyapatite nanopowder", *Journal of materials processing technology*, Vol. 202 (1), pp. 536-542, (2008).
 18. Kokubo, T., Kim, H. M., Kawashita, M., "Novel bioactive materials with different mechanical properties", *Biomaterials*, Vol. 24 (13), pp. 2161-2175, (2003).
 19. Zhang, P., Zhang, Z., Li, W., Zhu, M., "Effect of Ti-OH groups on microstructure and bioactivity of TiO₂ coating prepared by micro-arc oxidation", *Applied Surface Science*, Vol. 268, pp. 381-386. (2013).
 20. Kasuga, T., Kondo, H., Nogami, M., "Apatite formation on TiO₂ in simulated body fluid", *Journal of Crystal Growth*, Vol. 235 (1), pp. 235-240, (2002).
 21. Xie, Y., Liu, X., Chu, P. K., Ding, C., "Nucleation and growth of calcium-phosphate on Ca-implanted titanium surface", *Surface science*, Vol. 600 (3), pp. 651-656, (2006).
 22. Kim, H. M., Himeno, T., Kokubo, T., Nakamura, T., "Process and kinetics of bonelike apatite formation on sintered hydroxyapatite in a simulated body fluid", *Biomaterials*, Vol. 26 (21), pp. 4366-4373, (2005).
 23. Diba, M., Kharaziha, M., Fathi, M. H., Gholipourmalekabadi, M., Samadikuchaksaraei, A., "Preparation and characterization of polycaprolactone/forsterite nanocomposite porous scaffolds designed for bone tissue regeneration", *Composites Science and Technology*, Vol. 72 (6), pp. 716-723, (2012).

24. Sergey, V. D., "Self-setting calcium orthophosphate formulations: cements, concretes, pastes and putties", *International Journal of Materials and Chemistry*, Vol. 1 (1), pp. 1-48, (2011).
25. Hong, C., Noboru, K., "A biodegradable porous composite scaffold of PGA/ β -TCP for bone tissue engineering", *Bone*, Vol. 46 (2), pp. 386-395, (2010).